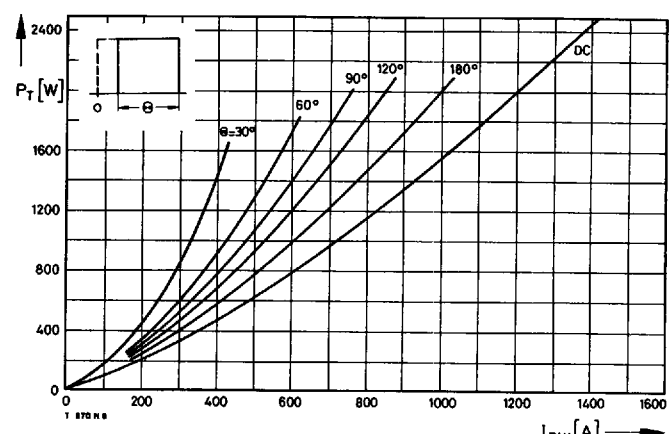
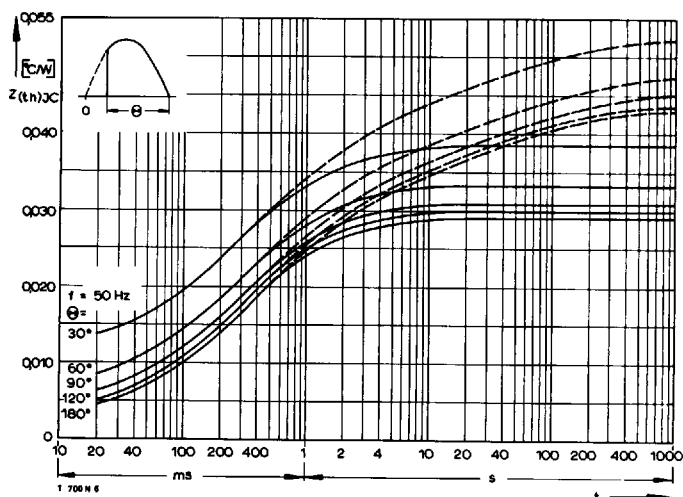
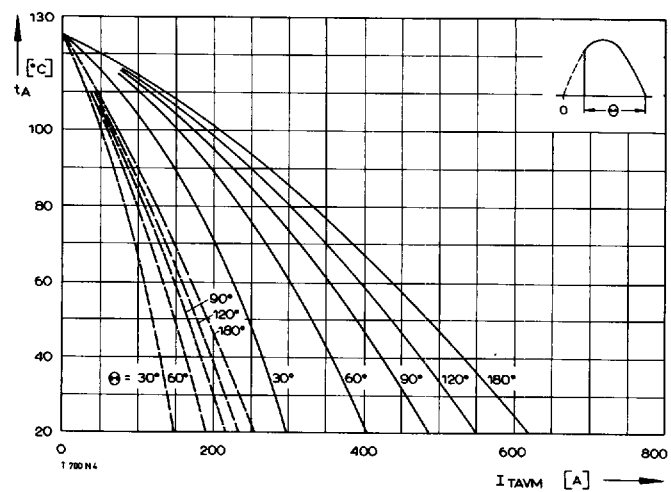
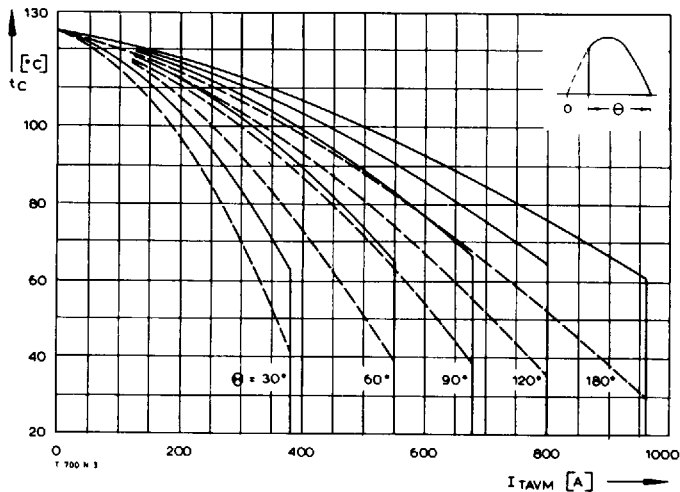
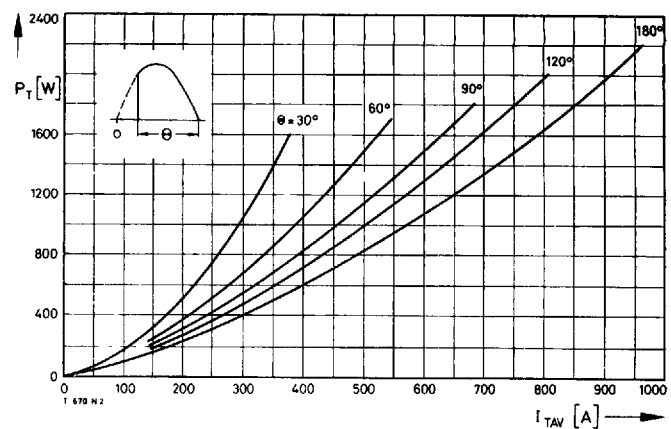
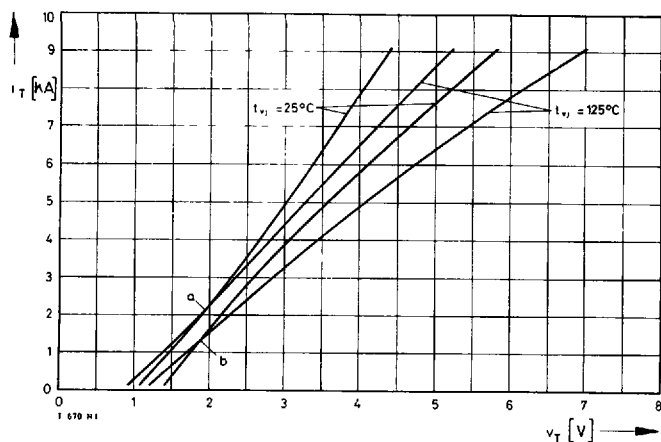


Type Range	T 709 N	2000	2200	2400	2600*
Elektrische Eigenschaften	Electrical properties				
Höchstzulässige Werte	Maximum permissible values				
V_{DRM} , V_{RRM}	Periodische Vorwärts- und Rückwärts-Spitzen-Sperrspannung	repetitive peak forward off-state and reverse voltages		2000...2600	V
I_{TRMSM}	Effektiver Durchlaßstrom	RMS on-state current		1500	A
I_{TAVM}	Dauergrenzstrom	average on-state current	$t_c = 85^\circ\text{C}$	700	A
I_{TRM}	Periodischer Spitzenstrom	repetitive peak on-state current	$t_c = 61^\circ\text{C}$	960	A
I_{TSM}	Stoßstrom-Grenzwert	surge current		9,1	kA
$\int i^2 dt$	Grenzlastintegral	$\int i^2 dt$ -value	$t_p = 10 \text{ ms}, t_{vj} \leq 45^\circ\text{C}$	14,5	kA
			$t_p = 10 \text{ ms}, t_{vj} = t_{vj \max}$	13	kA
			$t_p = 10 \text{ ms}, t_{vj} \leq 45^\circ\text{C}$	$1,05 \cdot 10^6$	A^2s
			$t_p = 10 \text{ ms}, t_{vj} = t_{vj \max}$	$0,845 \cdot 10^6$	A^2s
$(di/dt)_{cr}$	Kritische Stromsteilheit	critical rate of rise of on-state current	nicht periodisch/non repetitive	250	$\text{A}/\mu\text{s}$
			Dauerbetrieb/continuous operation, $i_{TM} = 2,5 \text{ kA}$,	50	$\text{A}/\mu\text{s}$
			$v_L = 10 \text{ V}, i_G = 1,5 \text{ A}, di_G/dt = 1,5 \text{ A}/\mu\text{s}$		
$(dv/dt)_{cr}$	Kritische Spannungssteilheit	critical rate of rise of off-state voltage	$v_D = 67\% V_{DRM}, t_{vj} = t_{vj \max}$	400	$\text{V}/\mu\text{s}$
			5. Kennbuchstabe/5th letter C	1000	$\text{V}/\mu\text{s}$
			5. Kennbuchstabe/5th letter F		
Charakteristische Werte	Characteristic values				
V_T	Obere Durchlaßspannung	max. on-state voltage	$t_{vj} = 25^\circ\text{C}, I_T = 3 \text{ kA}$	2,6	V
$V_{(TO)}$	Schleusenspannung	threshold voltage	$t_{vj} = t_{vj \max}$	1,05	V
r_T	Ersatzwiderstand	slope resistance	$t_{vj} = t_{vj \max}$	0,53	$\text{m}\Omega$
V_{GT}	Obere Zündspannung	max. gate trigger voltage	$t_{vj} = 25^\circ\text{C}, V_D = 6 \text{ V}, R_A = 5 \Omega$	1,5	V
I_{GT}	Oberer Zündstrom	max. gate trigger current	$t_{vj} = 25^\circ\text{C}, V_D = 6 \text{ V}, R_A = 5 \Omega$	300	mA
	Unterer Zündstrom	min. gate trigger current	$t_{vj} = t_{vj \max}, V_D = 6 \text{ V}, R_A = 5 \Omega$	10	mA
I_H	Oberer Haltestrom	max. holding current	$t_{vj} = 25^\circ\text{C}, V_D = 6 \text{ V}, R_A = 5 \Omega$	600	mA
I_L	Oberer Einraststrom	max. latching current	$t_{vj} = 25^\circ\text{C}, V_D = 6 \text{ V}, R_{GK} \geq 10 \Omega$	2	A
i_D, i_R	Oberer Vorwärts- und Rückwärts-Sperrstrom	max. forward off-state and reverse currents	$i_G = 1,5 \text{ A}, di_G/dt = 1,5 \text{ A}/\mu\text{s}, t_g = 50 \mu\text{s}$	100	mA
t_{gd}	Oberer Zündverzug	max. gate controlled delay time	$t_{vj} = t_{vj \max}, V_D = V_{DRM} (v_R = V_{RRM})$	5,5	μs
t_q	Typische Freiwerdezeit	typical turn-off time	$i_G = 1,5 \text{ A}, di_G/dt = 3 \text{ A}/\mu\text{s}$	300	μs
C_{null}	Typische Nullkapazität	typical zero capacitance	Prüfbedingungen/test conditions 3.4.3.4	8	nF
			$t_{vj} = 25^\circ\text{C}, f = 10 \text{ kHz}$		
Thermische Eigenschaften	Thermal properties				
R_{thJC}	Innerer Wärmewiderstand für beidseitige Kühlung	thermal resistance, junction to case for two-sided cooling	$\Theta = 180^\circ\text{el}, \sinus$	$\leq 0,029^\circ\text{C}/\text{W}$	
			DC	$\leq 0,028^\circ\text{C}/\text{W}$	
$R_{thJC(A)}$	für anodenseitige Kühlung	for anode-sided cooling	$\Theta = 180^\circ\text{el}, \sinus$	$\leq 0,043^\circ\text{C}/\text{W}$	
			DC	$\leq 0,042^\circ\text{C}/\text{W}$	
$R_{thJC(K)}$	für kathodenseitige Kühlung	for cathode-sided cooling	$\Theta = 180^\circ\text{el}, \sinus$	$\leq 0,085^\circ\text{C}/\text{W}$	
			DC	$\leq 0,084^\circ\text{C}/\text{W}$	
R_{thCK}	Wärmewiderstand für einen Übergang zwischen Gehäuse und Kühlkörper	single sided thermal resistance, case to heatsink		$0,008^\circ\text{C}/\text{W}$	
$t_{vj \max}$	Höchstzul. Sperrschiichttemperatur	max. junction temperature		125°C	
$t_{vj op}$	Betriebstemperatur	operating temperature		$-40^\circ\text{C} \dots +125^\circ\text{C}$	
t_{sig}	Lagertemperatur	storage temperature		$-40^\circ\text{C} \dots +150^\circ\text{C}$	
Mechanische Eigenschaften	Mechanical properties				
G	Gewicht	weight		540 g	
F	Anpreßkraft	clamping force		14...20 kN	
	Maßbild	outline	DIN 41814-155 B 4	Seite/page 241	
	Kriechstrecke	creepage distance		32 mm	
	Feuchtekategorie	humidity classification	DIN 40040	C	
	Schüttelfestigkeit	vibration resistance	$f = 50 \text{ Hz}$	$5 \times 9,81 \text{ m/s}^2$	

* Für größere Stückzahlen bitte Liefertermin erfragen/Delivery for larger quantities on request

T-25-20

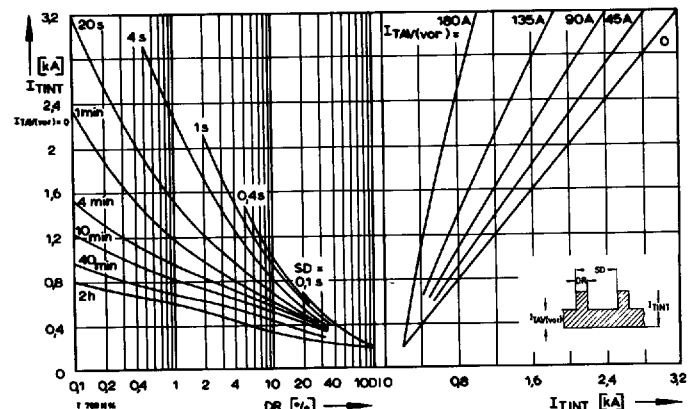
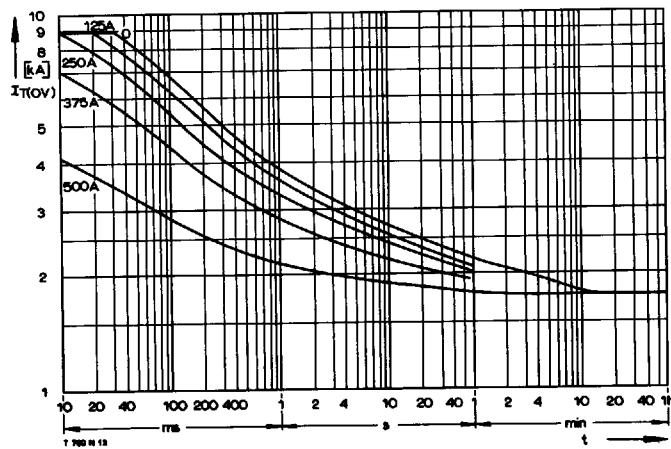
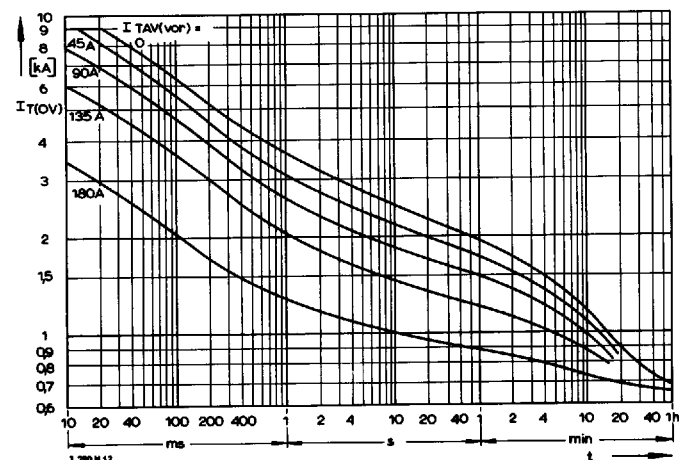
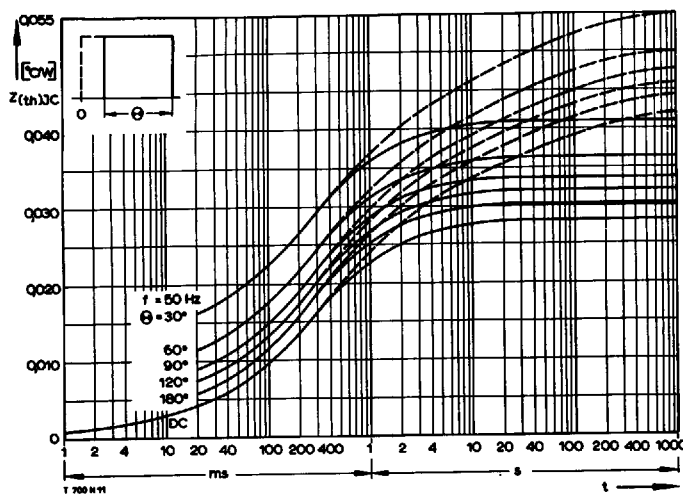
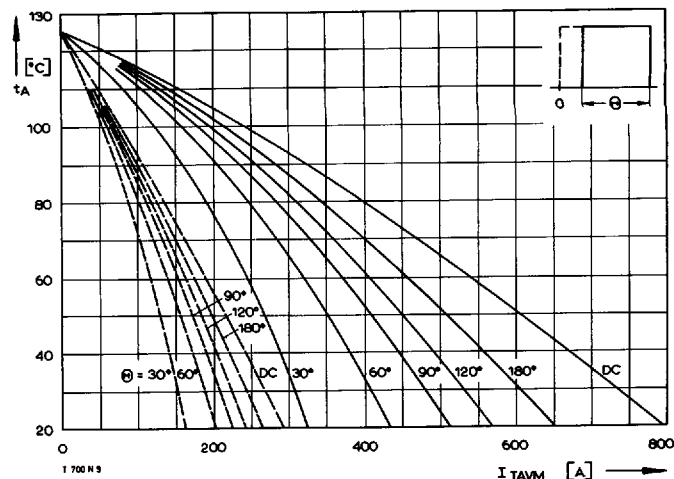
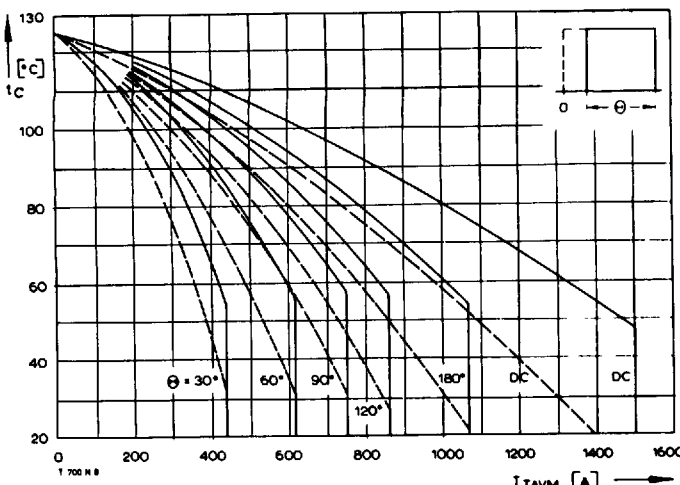


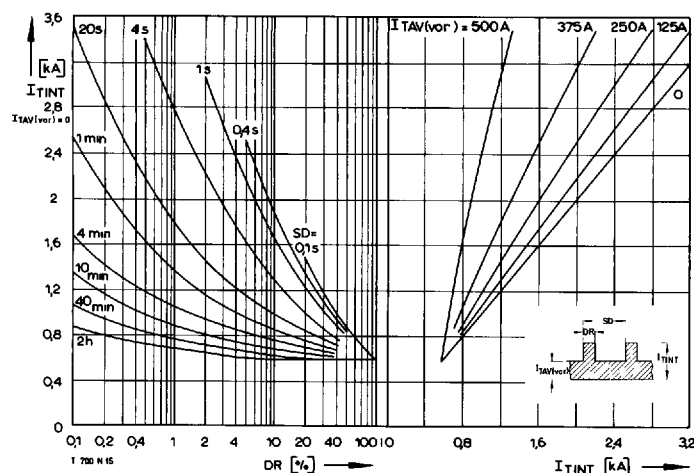
Bild/Fig. 5
Transienter innerer Wärmewiderstand $Z_{(th)JC}$
Transient thermal impedance, junction to case, $Z_{(th)JC}$, at two-sided cooling
--- anodenseitige Kühlung/anode sided cooling
— beidseitige Kühlung/two-sided cooling

Bild/Fig. 6
Durchlaßverlustleistung P_T /On-state power loss P_T
Parameter: Stromflußwinkel Θ /current conduction angle Θ

T 709 N

T-25-20

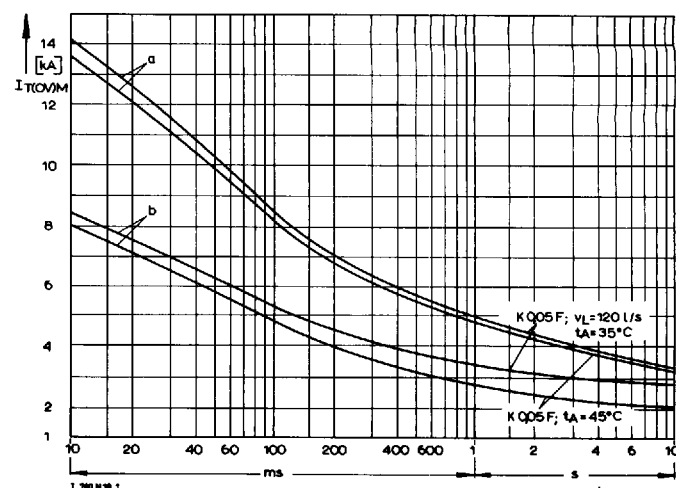




Bild/Fig. 13

Höchstzulässiger Durchlaßstrom I_{TINT} bei Aussetzbetrieb und verstärkter Luftkühlung, $t_A = 35^\circ\text{C}$, Kühlkörper K0,05 F, $V_L = 120 \text{ l/s}$.
Limiting on-state current I_{TINT} during intermittent operation at forced cooling,
 $t_A = 35^\circ\text{C}$, heatsink type K0.05 F, $V_L = 120 \text{ l/s}$.

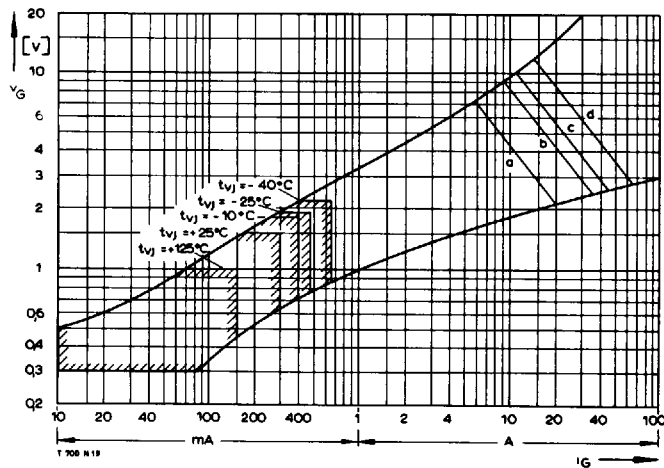
Parameter: Spieldauer/cycle duration SD
Vorlaststrom/pre-load current $I_{TAV(vor)}$



Bild/Fig. 14

Grenzstrom I_{TOVIM} bei Luftselbstkühlung und verstärkter Luftkühlung,
Kühlkörper K0,05 F, $U_{RM} = 0,8 U_{RRM}$.
Limiting overload on-state current I_{TOVIM} at natural and forced cooling,
heatsink type K0.05 F, $u_{RM} = 0.8 u_{RRM}$.

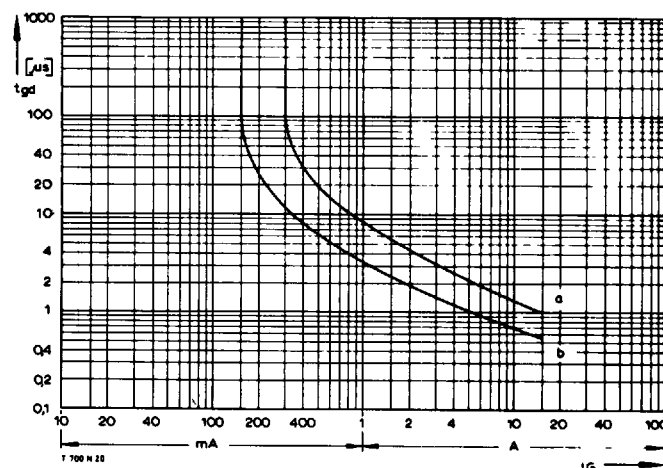
a – Belastung aus Leerlauf/current surge under no-load conditions
b – Belastung im Anschluß an Betrieb mit Dauergrenzstrom I_{TAVM} /
current surge occurs during operation at limiting mean on-state current
rating I_{TAVM}



Bild/Fig. 15

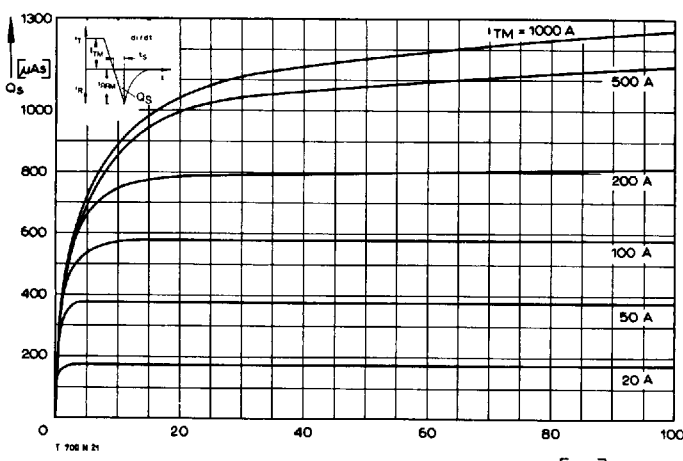
Zündbereich und Spitzensteuerleistung bei $v_D \geq 6 \text{ V}$.
Gate characteristic and peak gate power dissipation at $v_D \geq 6 \text{ V}$.

Parameter:
a b c d
Steuerimpulsdauer/Pulse duration t_g [ms] 10 1 0,5 0,1
Höchstzulässige Spitzensteuerleistung/
Maximum allowable peak gate power [W] 40 80 100 150



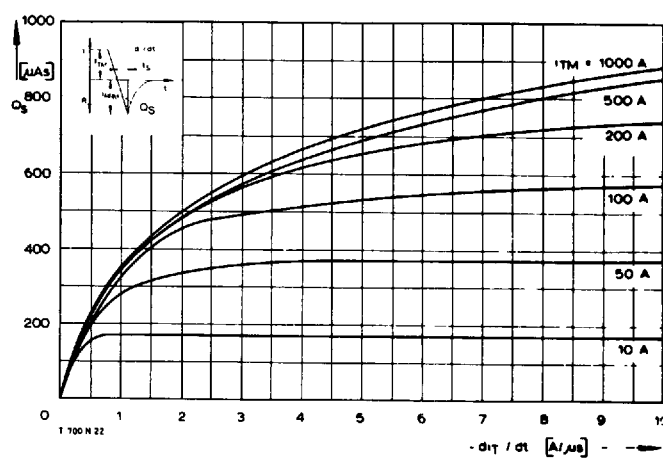
Bild/Fig. 16

Zündverzug t_{gd} bei $i_{TM} = 100 \text{ A}$, $t_{vj} = 25^\circ\text{C}$.
Gate controlled delay time t_{gd} at $i_{TM} = 100 \text{ A}$, $t_{vj} = 25^\circ\text{C}$.
a – äußerster Verlauf/limiting characteristic
b – typischer Verlauf/typical characteristic



Bild/Fig. 17

Nachlauffladung Q_s in Abhängigkeit von der abkommunizierenden Stromteilheit
 $-di/dt$ bei $t_{vj} = 125^\circ\text{C}$.
Der angegebene Verlauf wird von 90% aller Thyristoren nicht überschritten.
Lag charge Q_s versus the rate of decay of forward on-state current
 $-di/dt$ at $t_{vj} = 125^\circ\text{C}$. – These curves are valid for 90% of all thyristors.

Bild/Fig. 18
Ausschnitt aus Bild 17/Detail of fig. 17.